

## 発破による盛土地盤の改良工法について

関西大学工学部 正員 ○谷口敬一郎

関西大学工学部 正員 井上 啓司

建設企画コンサルタント 正員 木下 哲生

## 1. まえがき

厚い盛土層においては、土の自重による土圧の作用によって土層が圧縮され、長期間にわたる沈下現象が生ずるが、とくに大きな建造物などの上載荷重が加わる場合には、著しい影響の現われることがある。この研究の目的は、厚層盛土地盤の沈下をそく進させる手段として、爆破による振動を利用してようとするもので、あわせて、爆破によって生成される地下の空間にモルタルを注入し、地盤の支持力の増強工法とするものであり、これらの実験の結果について報告する。

## 2. 実験現場の状況

Fig. 1 に示されるような各地形を埋め立てて造成された平たんな土地のほぼ中央部に実験場所を選定した。B<sub>1</sub>, B<sub>2</sub>, B<sub>3</sub>, B<sub>4</sub> の4点を爆破孔、相互の間隔を 7.5~9.0 m とした。爆破点付近における盛度の厚さは、約 33~37 m である。盛土材料は主として流紋岩ならびにその風化生成物で、粒度は粘土成分から径 1~2 m における巨礫にまでわたっているが、全般的には、水 20%, 砂 50%, シルト 10%, 粘土 20% 程度の比率をなしている。

## 3. 実験方法

4ヶ所の爆破孔は B<sub>4</sub>→B<sub>3</sub>→B<sub>2</sub>→B<sub>1</sub> の順に爆破されたが、その時間間隔は 10~3 日である。それぞれの実験爆破の手順はつきの通りである。

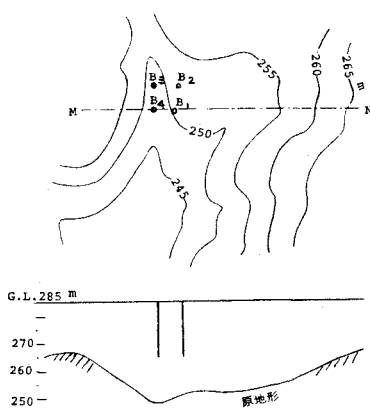


Fig. 1 地形図

B: 爆破孔

- (1) 直径 14 cm, 深さ 20 m のボーリング孔をせん孔し、内径 10 cm の硬質塩化ビニール管をもと入する。
- (2) 炎火には導爆線を用い、ダースタヒビで G.L. -20, -15, -10 m の3か所にダイナマイト 300 g (20 g) をつける。AN-F0 爆薬 75 kg を流しこむ。この場合、G.L.-20~-10 m 間に装薬されたことになる。
- (3) 乾燥した砂を充填し、保守のため孔口に土を積む。
- (4) 初読みによつて炎火し、同時に振動測定等を行なう。
- (5) 爆破終了後、ボーリング孔内の充填砂をつき落し、ただちにモルタルを注入。
- (6) 爆破直後、ならびに以後の長期的沈下量観測を実施する。

## 4. 爆破による振動

爆破振動の観測には受振器として Geospace 社製 K-28型を用い、その出力をヒジグラフに直記させた。振動波形記録の一例を Fig. 2 に示す。卓越周波数は約 25 Hz で、各測点において観測された変位速度の値を基にして、変位量ならびに、加速度を計算した結果が Table 1

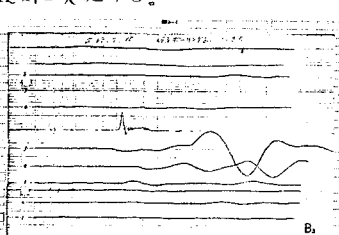


Fig. 2

に示されている。Fig. 3 は爆源からの距離と変位速度の振幅との関係をプロットした結果を示すものである。

一般に振動波形の振幅 A, 爆源からの距離 r とすれば、 $A = C \cdot r^{-n}$  なる関係がある。ここに、C は爆薬量ならびに装薬条件に関する定数であり、n は媒質中で伝播する波の減衰定数である。Fig. 3 から明らかな

Table 1

測点	半径 (cm <sup>0.5</sup> )	変位 (cm/sec)	振幅 (cm/sec)	距離 (m)
B <sub>1</sub>	4.0	0.06	989	523
	4.0	0.06	989	524
	12.0	0.19	2952	313
	37.8	0.59	9326	155
	4.0	0.06	989	521
	20	0.03	487	61.8
	20	0.03	487	70.1
	20	0.03	487	432
	20	0.03	487	41.2
B <sub>2</sub>	4.0	0.06	989	404
	19.7	0.31	4867	17.9
	20	0.03	487	62.9
	40	0.06	989	432
	20	0.03	487	41.2
	60	0.09	1476	40.6
	77.6	1.22	19138	14.0
	99	0.16	2449	23.9
	40	0.03	989	457
B <sub>3</sub>	20	0.03	487	55.6
	20	0.03	487	64.8

ように、両対数目盛にプロットした  $A$  と  $r$  の関係は直線的で、 $A = 10.060 \cdot r^{-3.4}$  なる実験式が得られる。 $r$  の値は水中で  $1.13 \sim 1.14$ 、岩盤中では 2 前後の値をとるが、このような盛土中では非常な大きな値を示し、振動波の距離による減衰が激しいことを表わしている。構造物などに被害をおよぼす震度速度として、 $5 \text{ cm/sec}$  ( $5 \text{ fine}$ ) の値以上が一応のめやすとされているが、この値に対応する距離を求めれば、 $r = 9.4 \text{ m}$ 、となり、この値を安全距離とすることができるよう。また、人間が振動を感じ始める限界を、 $0.05 \text{ cm/sec}$  とすれば、 $r = 36.3 \text{ m}$  に相当する。

## 5. 沈下量

Fig. 4 は実験工程が完了した時刻における付近の沈下量を水準測量によって求め、等高線で表わしたものである。これによれば、発破地盤を中心としてほぼ同心円状に地盤が沈下したことことが明らかで、最大沈下量の観測は  $B_1$  と  $B_2$  のほぼ中间に位置する測点 NO. 10において得られ、その値は  $31.3 \text{ cm}$  であった。Fig. 5 は 4 回の発破時ににおける各測点の沈下状況を断面図で表わしたもので、それぞれの発破ごとに爆源を中心として沈下量の増加していく様子が認められる。

実験後の継続的な観測によれば、約 1か月後には次下が安定し、それ以後はほとんど変化がない、最終沈下量は  $32.5 \text{ cm}$  に達した。この付近における従来の沈下状況と比較すると、発破によって生じた  $30 \text{ cm}$  の沈下量は約 2か年分といふことは 3か年分の沈下量に相当しているものと考えられる。

## 6. モルタルの注入

土発破は岩石発破と異り、振動波の減衰がはげしいので、発破によって生ずる空洞は動的作用の影響を受けることが少なく、ほとんどが静的な効果によるものと考えられる。すなわち、発破によって生ずる生成ガスの圧力が上圧と平衡するという条件から空洞の容積が求められる。いま、空洞の容積を  $V_e$ 、薬室の比容を  $v$ 、薬量を  $L$ 、生成ガスの温度ならびに地中の温度をそれぞれ  $T_b$ 、 $T_e$  (絶対温度)、土圧を  $P_e$  とすれば、

$$V_e = v \cdot L \cdot T_b / P_e \cdot T_e$$

と書かれる。本実験のように円筒状の薬室を行なった場合には、薬室の上下端において土圧が異なるので注意を要する。これに周連した他の実験の結果から、土の単位体積重量が地表においては  $1.4 \text{ g/cm}^3$ 、地下  $20 \text{ m}$  においては  $1.7 \text{ g/cm}^3$  の値をとることが判り、この間に直線的な増加関係が認められた。AN-F10 の比容は  $970 \text{ l/kg}$  であり、簡単のために  $T_b = T_e$  とすれば、 $V_e = 35.7 \text{ m}^3$  の値が得られる。発破終了後、空洞に注入したモルタル量 (セメント:砂:k = 2:2:1) は  $36.1 \sim 43.8 \text{ m}^3$  にわたっているが、土層中への浸透を考慮すれば適当な値と考えられる。いま、発破孔を中心として半径  $5 \text{ m}$  の円筒について考えると、地表沈下量ならびに注入モルタル量から計算して、密度は約 10% 程度上昇したことになる。

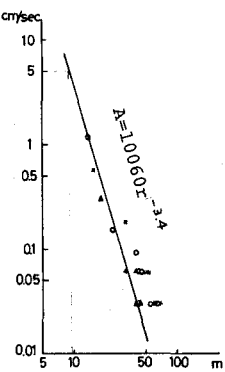


Fig. 3

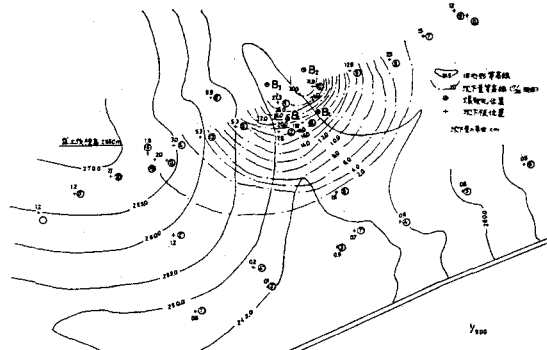


Fig. 4

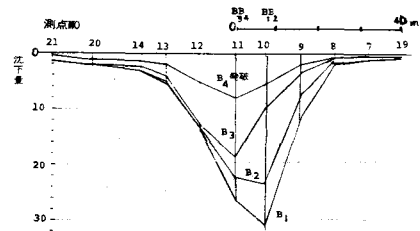


Fig. 5